

**SANCAR**  
INSTALACIONES

## **INFORME DE INSTALACIONES FOTOVOLTAICAS y CLIMA**



Informe de Energía Solar Fv (Noviembre del 2012)  
Instalación, Operación y Mantenimiento-Auditorías  
Manuel Maroto, 33, planta Bº, letra B  
28053 Madrid

E-mail: [jumasancar@gmail.com](mailto:jumasancar@gmail.com)

Tfno. Móvil: 695 055 694

<b>1</b>	<b>INTRODUCCIÓN.....</b>	<b>3</b>
<b>1.1</b>	<b>“Valor añadido” Mantenimientos/ Auditorías Optimización Fv .....</b>	<b>3</b>
<b>2</b>	<b>INTEGRACIÓN ARQUITECTÓNICA .....</b>	<b>7</b>
<b>2.1</b>	<b>Cubiertas/ Marquesinas.....</b>	<b>7</b>
<b>2.2</b>	<b>Fachadas Ventiladas.....</b>	<b>10</b>
<b>2.3</b>	<b>Muros Cortina .....</b>	<b>14</b>
<b>2.4</b>	<b>Lamas/ Parasoles/ Protección Solar Fv .....</b>	<b>14</b>
<b>3</b>	<b>TIPOS DE MÓDULOS SOLARES FV.....</b>	<b>20</b>
<b>3.1</b>	<b>Monocrystalinos.....</b>	<b>20</b>
<b>3.2</b>	<b>Policristalinos .....</b>	<b>20</b>
<b>3.3</b>	<b>Capa Fina (Slim-Film) TeCd.....</b>	<b>20</b>
<b>3.4</b>	<b>Producción Módulos.....</b>	<b>21</b>
<b>4</b>	<b>GRANDES CENTRALES DE GENERACIÓN ELÉCTRICA.....</b>	<b>22</b>
<b>4.1</b>	<b>Seguidor Plano Doble Eje .....</b>	<b>22</b>
<b>4.2</b>	<b>Seguidor Monoposte Doble Eje .....</b>	<b>28</b>
<b>4.3</b>	<b>Instalación Fija .....</b>	<b>28</b>
<b>5</b>	<b>SOLAR FV AISLADA DE RED.....</b>	<b>35</b>
<b>5.1</b>	<b>Acumulación Química Estacionaria OPzS .....</b>	<b>35</b>
<b>6</b>	<b>EJEMPLOS DE MANTENIMIENTOS .....</b>	<b>44</b>
<b>6.1</b>	<b>Curvas Rendimientos I<sub>U</sub> PVE-PVPM 1000-40C .....</b>	<b>44</b>
<b>6.2</b>	<b>Termografías x determinación de Ptos. Calientes en Generador .....</b>	<b>47</b>
<b>7</b>	<b>OTRAS INSTALACIONES (Climatización) .....</b>	<b>48</b>
<b>7.1</b>	<b>Roof-Tops Centralizado Condensación (WOLF).....</b>	<b>48</b>
<b>7.2</b>	<b>Volumen Variable Refrigerante-VRV (DAIKIN) .....</b>	<b>51</b>
<b>7.3</b>	<b>Solar Térmica Baja T<sup>a</sup> para Suelo Radiante (VIESSMAN)....</b>	<b>54</b>
<b>7.4</b>	<b>Colegio ALKOR (BORDEAUX).....</b>	<b>56</b>

# 1 INTRODUCCIÓN

## 1.1 “Valor añadido” Mantenimientos/ Auditorías Optimización Fv

### PROTOCOLO PARA EVALUAR EL CORRECTO FUNCIONAMIENTO DE UNA INSTALACIÓN FOTOVOLTAICA CONECTADA A RED (ON-GRID)

#### **Introducción:**

Los beneficios de producción de energía eléctrica de una planta fotovoltaica para sufragar la inversión realizada por PRE (productores EE en régimen especial), da lugar a la existencia ineludible de un control de calidad exhaustivo para rentabilizarla durante su vida útil (25 años aprox.), en instalaciones anteriores y posteriores al RD661/2007.

La disminución de EE producida, da lugar a una pérdida de facturación mensual.

Para saber si la instalación fotovoltaica está produciendo correctamente, se dispone de un sistema de monitorización “vía remota” y que calcula el rendimiento global del sistema **PR** (Performance Ratio)

Estos sistemas son complementarios al control de calidad al no ser todo lo fiables que cabe esperar, y no son nunca suficientes para concluir el correcto funcionamiento de la instalación por el mayor margen de error que el protocolo objeto del estudio, y entre cuyos factores caben destacar:

Perdidas de rendimiento por temperatura ambiente y de trabajo de las células; Estrepitoso descenso de Uoc con aumento de Temperatura ambiente; Obtención de datos a partir de datos disponibles de meses fríos o cálidos; Disposición de sensores calibrados y coplanares a la superficie generadora, ya sean referidos a ET-sensor, células calibradas para medición de datos de Uoc ó Isc, etc...

#### **Conclusión:**

El valor añadido ofrecido por **SANCAR** a sus clientes propios y ajenos, se fundamenta en los siguientes puntos de control detallados a continuación, y en un protocolo de pruebas desarrollado más adelante:

- 1.- Una auditoría energética externa imprime ó dota de un sello de calidad e independencia
- 2.- La posibilidad de fallos de aislamiento ó elevada emisión de armónicos, etc, no tienen reflejo directo en la producción, pero ocasiona accidentes o problemas futuros.
- 3.- Las pruebas deben ser realizadas por profesionales cualificados, con herramientas adecuadas y elementos de seguridad por el elevado riesgo manifiesto de electrocución.

#### 3.1.- PRUEBAS DE PRODUCCIÓN ELECTRICA DEL GENERADOR E INVERSOR.

- **PVPm** (carga capacitiva); para obtener la curva de rendimiento del generador fotovoltaico ó curva **I-U**
- **ANALIZADOR DE POTENCIA TRIFÁSICO**; para obtener la calidad de la onda sinusoidal **CA** (Corriente Alterna) posibles discordancias de tensión y frecuencia

#### 3.2.- PRUEBAS RELATIVAS A LA SEGURIDAD ELÉCTRICA DE LA INSTALACIÓN.

(Para descartar defectos eléctricos que puedan poner en peligro a las personas o a la propia instalación)

- **MEGGER**; para medir la resistencia de aislamiento de los polos de CC y la corriente de fuga.

**Raisl +/- < 16 kOhmnios....."MALA"**

**Raisl +/- > 20 kOhmnios....."BUENA"**

**I fuga < 10 mA**

- **CÁMARA TERMOGRÁFICA**; para detección de puntos calientes en módulos y sobrecalentamientos en cajas de conexiones, protecciones, inversores, etc...
- **TELURÓMETRO**; para medición de las resistencias del electrodo/ s de tierra ó la red equipotencial de tierras de protección en sistemas **TT** (neutro aislado).



**Protocolo:**

1. INSPECCIÓN VISUAL DE LA INSTALACIÓN FOTOVOLTAICA.
  - Estado de los módulos, cableado, conexiones, inversores, electrodo ó red equipotencial de tierras.
  - Posible sombreado de los módulos.
  - Inclinação y orientación de la superficie generadora.
  - Accesibilidad a la instalación para mantenimientos futuros.
2. DISPOSICIÓN DE SENSORES CALIBRADOS Y COPLANARIOS EN PLANTA
  - Sensor de irradiancia ó densidad de potencia (**G**) (**W/ m<sup>2</sup>** ó **mW/ cm<sup>2</sup>**)
  - Sensor de temperatura de trabajo de las células.
3. MEDICIÓN A LA SALIDA DEL INVERSOR.
  - Tensión de máxima potencia (**Umpp**), e intensidad de máxima potencia (**Impp**)
  - Potencia media a la salida del inversor (**Pca**) con analizador de redes de potencia trifásico.  
  
(nota: estos datos nos dan la potencia *instantánea* del inversor)
  - Irradiancia (**G**) y temperatura (**T<sup>a</sup>**)
4. MEDICIÓN DE ARMÓNICOS Y TIPO DE ONDA CON ANALIZADOR DE REDES
5. OBTENCIÓN DE CURVA DE RENDIMIENTO (**I-U**) POR CADENA Ó STRING CON CARGA ELECTRÓNICA CAPACITIVA (**PVPm**)
6. MEDICIÓN DE LA RESISTENCIA AISLAMIENTO Y CORRIENTE DE FUGA
  - Estas mediciones se han de realizar a primera hora de la mañana para observar el comportamiento del aislamiento con la humedad por el *rocío* matutino
  - Medidas muy bajas de **R** aisl., y muy altas en de **I** fuga dan lugar a peligros expuestos por electrocución.

## 7. MEDIDAS DEL ELECTRODO DE TIERRAS Ó RED EQUIPOTENCIAL (**TT**)

- Parte de la instalación eléctrica que deriva ó drena la intensidad a tierra en caso de existir algún tipo de defecto eléctrico y evitar así que las partes activas (masas) entren en sobretensión, en un sistema **TT** ó de neutro aislado.
- **R** electrodo en instalaciones sin pararrayos < 37 **Ohmnios**
- **R** electrodo en instalaciones con pararrayos < 15 **Ohmnios**
- **REBT** es más restrictivo para la parte de Corriente Alterna (**CA**), con lo que la tensión de las masas (**U**masas) ha de ser:
  - 1.- locales húmedos.....**U** < 24**Vac**    e    **I** < 30 **mA**
  - 2.- resto de locales.....**U** < 50**Vac**    e    **I** < 30 **mA**

## 2 INTEGRACIÓN ARQUITECTÓNICA

### 2.1 Cubiertas/ Marquesinas



94,8 kWp en Cocentaina (Alicante) realizada por Conergy- Enersol. Instalación realizada directamente sobre la cubierta.



181,44 kWp en Gran Canaria por Conergy. Módulos anclados al techo mediante estructura.



Instalación FV de 94,8 kWp en Alicante de Conergy-ENERSOL S.L.



Instalación FV de 34,6 kWp en Granada de Conergy.





## 2.2 Fachadas Ventiladas



Instalación FV en la “Casa de la Juventud” de San Sebastián de los Reyes .

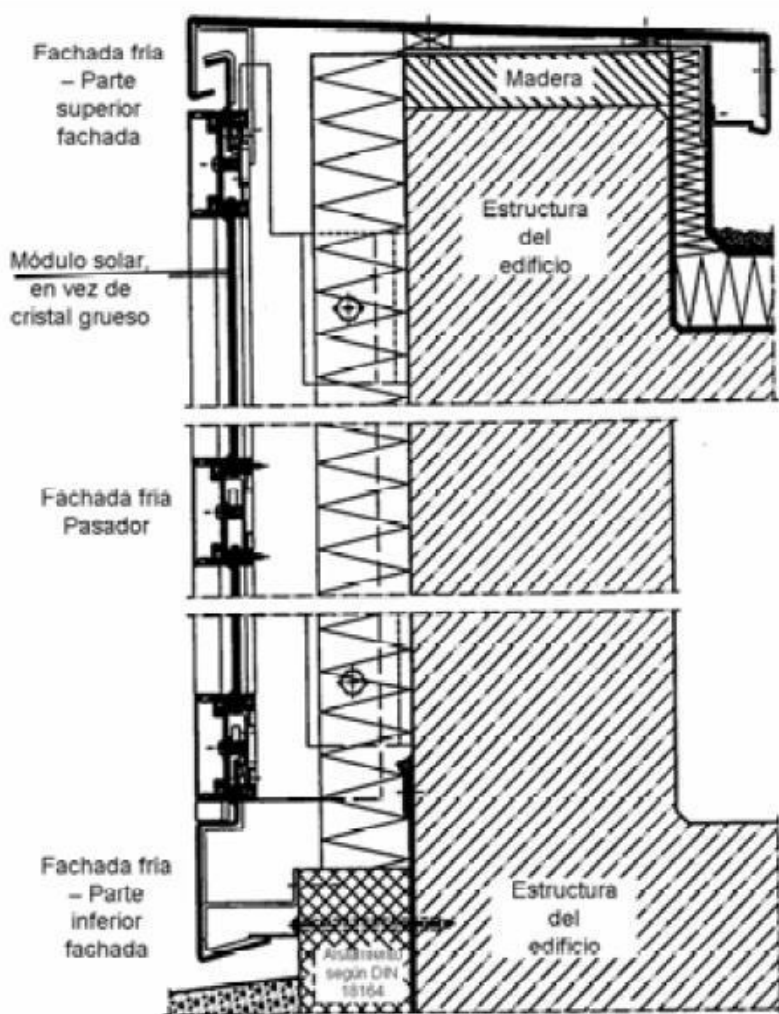


Fachada de la Casa de la Juventud de San Sebastián de los Reyes (Madrid).



SunTechnics ha realizado en España varias instalaciones fotovoltaicas integradas que se han convertido en toda una referencia. Este es el caso de la Casa de la Juventud en San Sebastián de los Reyes, para lo que se utilizaron módulos estándar Conergy C123 P. Los inversores fueron 20 de SMA SWR 2

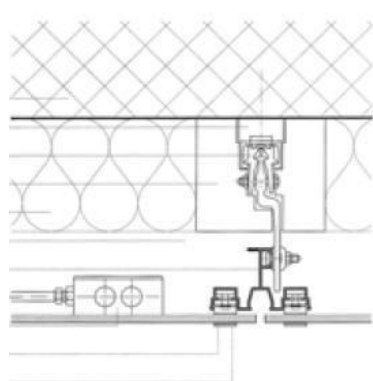
Sobre la fachada de este edificio, con unas dimensiones de 55 metros de ancho y casi 23 metros de altura, se implantó un sistema fotovoltaico de una potencia máxima de 61,5 Kwp.



Sección de una fachada ventilada.



Fachada Fotovoltaica Verde del Polideportivo de Tübingen (Alemania) realizado por Conergy.



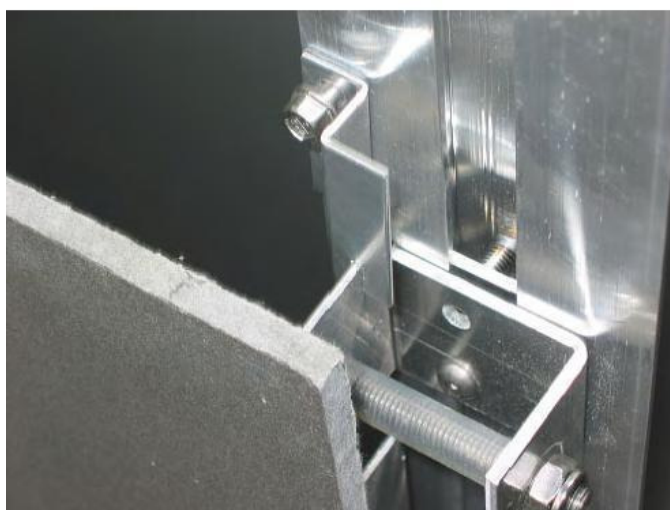
Detalles de la estructura y los fijadores de la Fachada Fotovoltaica Verde de Tübingen (Alemania).



Fachada FV de la Estación Teleférico (St. Moritz – Suiza) realizado por Conergy.



Foto Sistema modular para fachadas ventiladas.





## 2.3 Muros Cortina

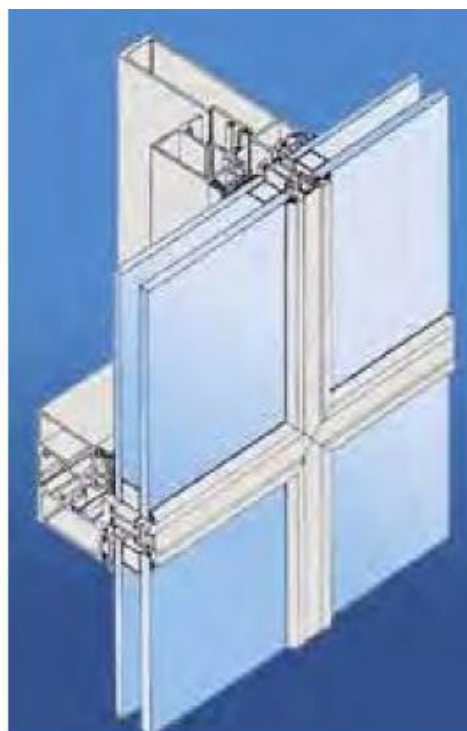
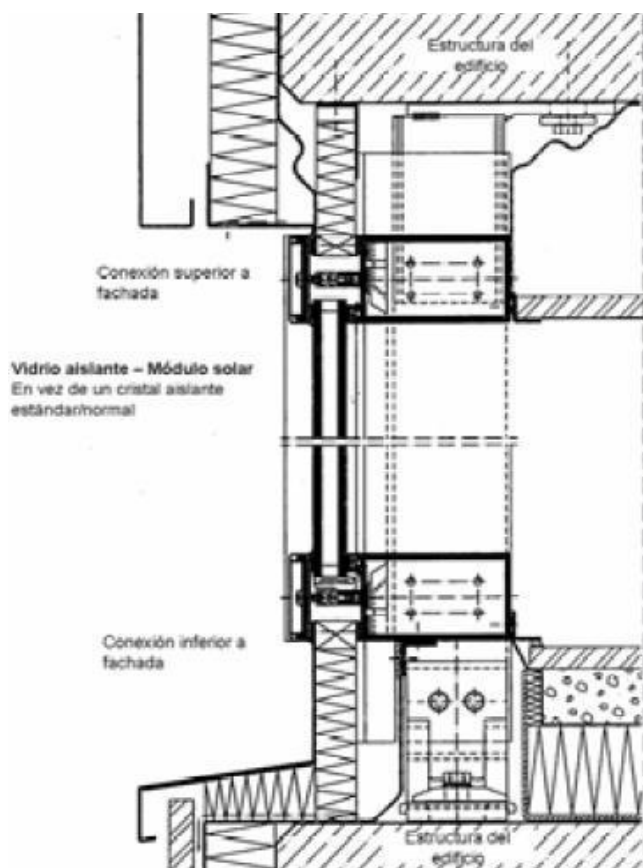


Foto Esquema de una fachada del tipo Muro Cortina.

## 2.4 Lamas/ Parasoles/ Protección Solar Fv

El grupo Conergy, en colaboración con IFM, ha instalado en la localidad gaditana de San Fernando un sistema fotovoltaico integrado con una potencia de 6,9 Kwp. Al año, esta instalación generará 8.716 Kwh de energía no contaminante. El centro de visitantes de la Bahía de Cádiz se ha convertido en un referente claro del binomio diseño arquitectónico y sistemas fotovoltaicos.

En la fachada del edificio se han colocado un total de 64 módulos de 108 Wp cada uno. Tienen una película translúcida en el dorso laminado y dos inversores STW 2600 en los que se han distribuido 32 módulos en dos cadenas de 16. el proyecto requería de unas características determinadas y SunTechnics, empresa responsable del proyecto, siempre busca la mejor solución para cada proyecto

El proyecto se realizó para el Centro de Visitantes de la Bahía de Cádiz, de la empresa Egmasa, dependiente de la Consejería de Medio Ambiente de la Junta de Andalucía. Situada en las marismas del Parque Natural Bahía de Cádiz, predica con el ejemplo al apostar por una energía limpia y renovable.



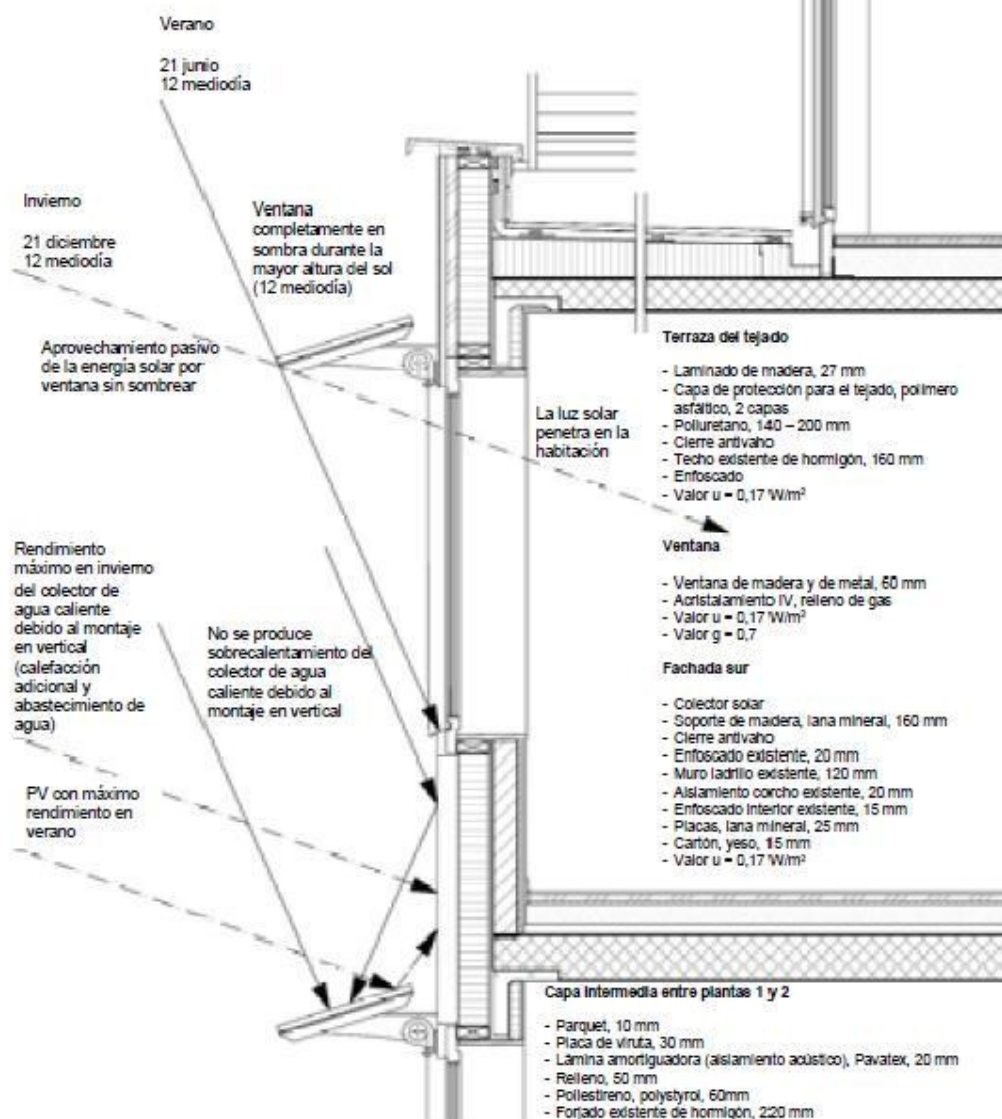
Foto Imágenes  
del Centro de Visi-  
tantes Bahía de  
Cádiz.





#### Tejado

- Polímero asfáltico para ajardinamiento del techo plano, dos capas
- Placa OSB, 25 mm
- Ventilación, 100 mm
- Camil bajo techo, Pavatex, 52 mm
- Listones de madera, aislamiento de celulosa, 280 mm
- Placa de tres capas, 27 mm
- Valor  $u = 0,13 \text{ W/m}^2$



**Instalación FV en el Centro de Visitantes "Bahía de Cádiz" en San Fernando (Cádiz) realizado por Conerav-IFM.**





Instalación FV integrada en los parasoles en Eschweiler (Alemania).



Instalación fotovoltaica en el Edificio "Winterthur" de 48 kWp en Alemania realizado por Conergy.



Foto Detalles de  
las lamas fotovol-  
taicas del Edificio  
Winterthur  
(Alemania).





**Instalación FV en Girona con módulos de capa fina.**



**Biblioteca Táialà/Fontajau de Girona.**

## 3 TIPOS DE MÓDULOS SOLARES FV

### 3.1 Monocrystalinos

Se componen de un único cristal de silicio. Son los que ofrecen un mayor rendimiento, cercano al 20%. Las células mono-cristalinas pueden ser de varios colores, pero las más eficaces son las negras y azules, que permiten una mayor absorción de los rayos solares. Siempre llevan una capa antirreflectante para conseguir mayor eficacia. También existen células de alta eficiencia que suelen llevar los contactos eléctricos en la capa posterior, para ampliar la superficie de captación, pero suelen conllevar otros problemas añadidos como la “polarización”, por la cercanía de ambas capas P\_N en el flujo de electrones de “valencia” para la obtención de diferencia de potencial eléctrico.

### 3.2 Policristalinos

Están formados por pequeñas partículas cristalizadas.

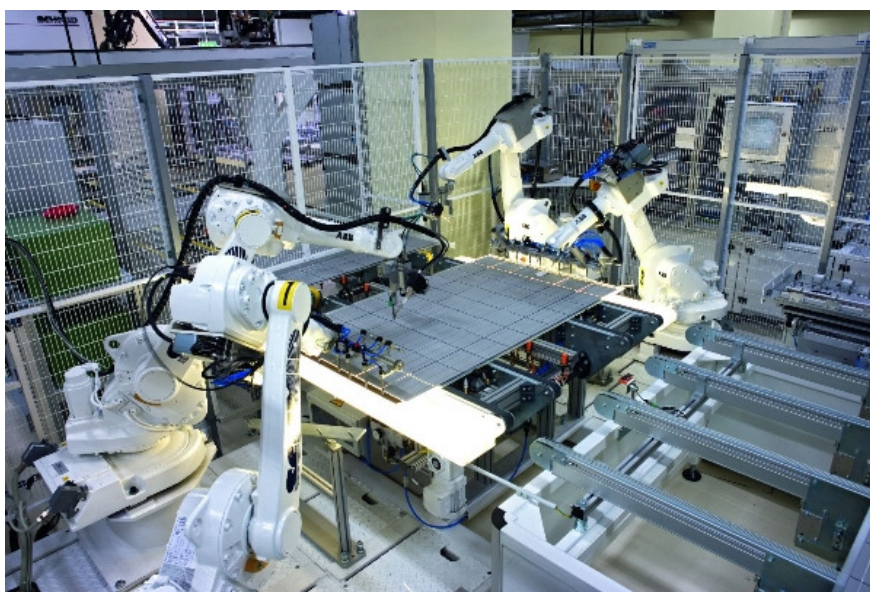
### 3.3 Capa Fina (Slim-Film) TeCd

El silicio no ha cristalizado, se obtienen a partir de la deposición de capas delgadas sobre el vidrio. El centro de visitantes de la Bahía de Cádiz se ha convertido en un referente claro del binomio diseño arquitectónico y sistemas fotovoltaicos.



Instalación de capa fina realizada en la Biblioteca Táialà/Fontajau de Girona por el Grupo Conergy.





## 4 GRANDES CENTRALES DE GENERACIÓN ELÉCTRICA

### 4.1 Seguidor Plano Doble Eje (Calaverón- Villarrobledo\_20 Mw)















**(Rodesol-Albacete\_3 Mw)**



**(Palancares-Albacete\_2 Mw)**



**(Aledo-Totana\_2 Mw)**



**(Viento y Energía-Darro\_6 Mw)**



#### **4.2 Seguidor Monoposte Doble Eje**

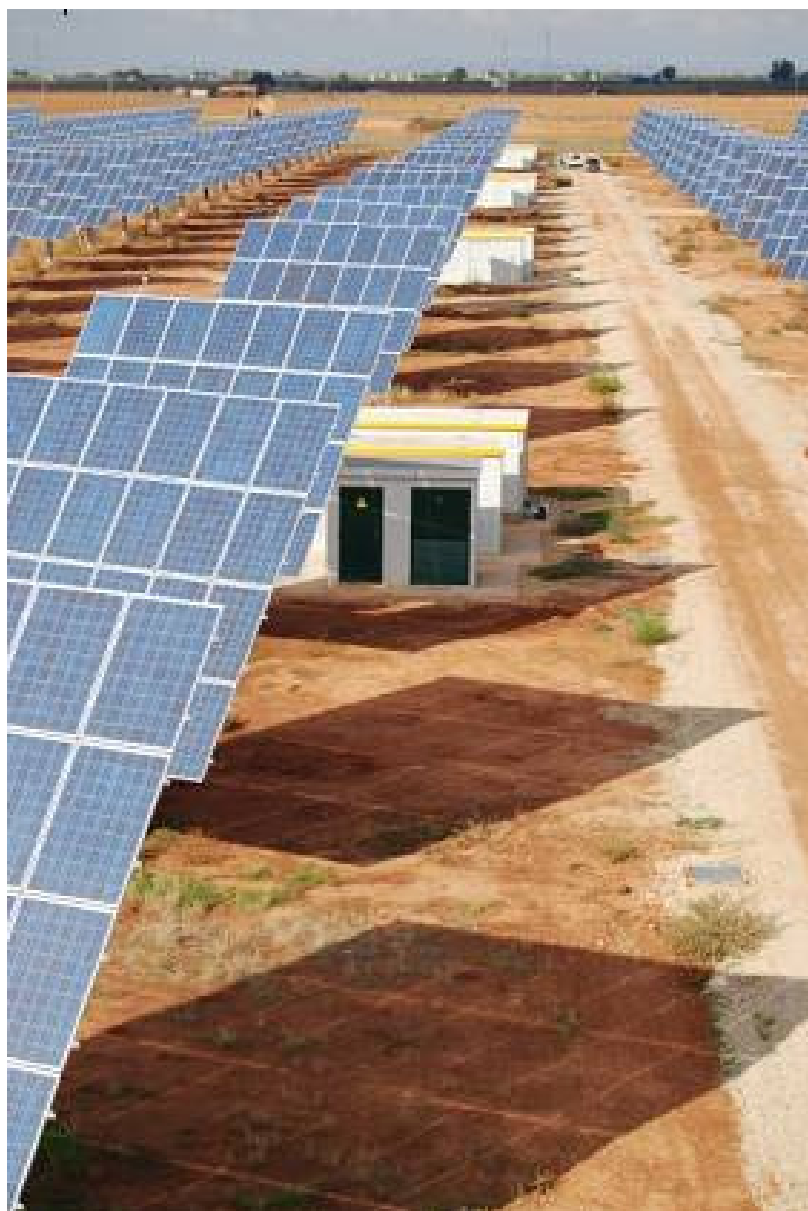
**(Manzanares y Herrera de la Mancha-Ciudad Real\_4 Mw)**

**(Junquera-Caravaca de la Cruz\_1,5 Mw)**

#### **4.3 Instalación Fija (Loja-Granada\_1,5 Mw)**



















## 5 SOLAR FV AISLADA DE RED

### 5.1 Acumulación Química Estacionaria OPzS

#### - Instalación existente

La instalación existente está compuesta por un sistema de 12 v (CC) con los siguientes equipos:

- Estructura metálica mediante perfiles acero laminado negro

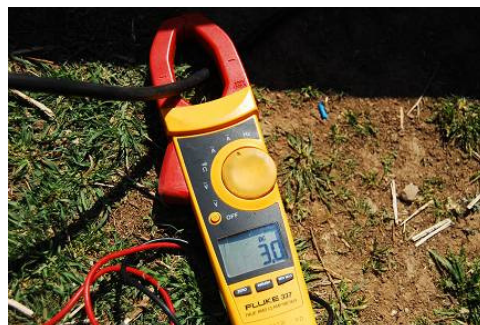


- Paneles: 16 paneles ISOFOTON 55 Wp (uno de ellos con el cristal roto)  
Se miden las características eléctricas de uno de ellos, comprobando que se mantienen tanto el voltaje de circuito abierto ( $U_{oc}$ ) como la intensidad de cortocircuito ( $I_{sc}$ ), por lo que se decide re-utilizar varios de los módulos existentes (10 uds)



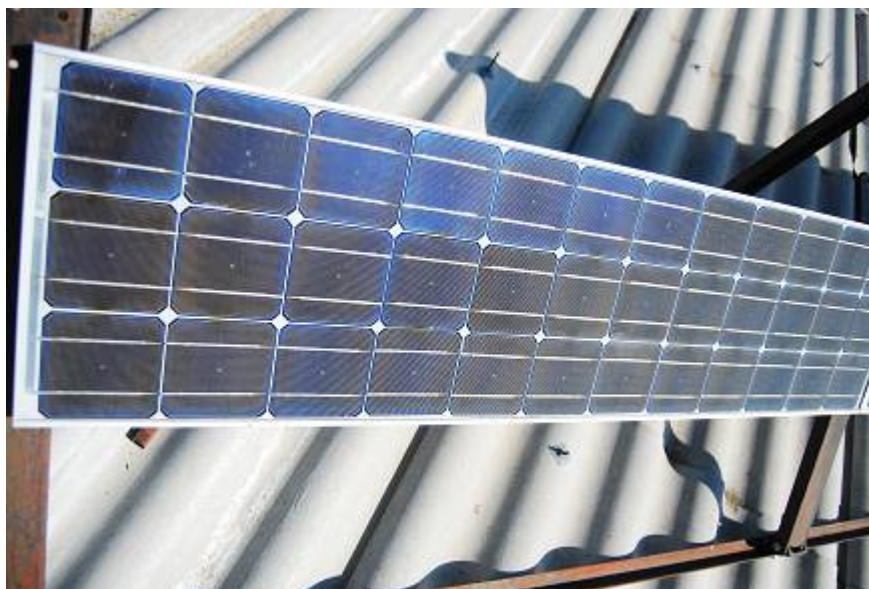


$U_{ov} = 19,8 \text{ V}$



$I_{sc} = 3 \text{ A}$

$$P_{out} = U_{oc} \times I_{sc} \times 0,8 = 55 \text{ Wp}$$





**Banco de baterías:** el sistema está formado por 6 baterías VARTA de 6 v y 75 Ah, en tres (3) paralelos de dos (2) baterías de 6 v en serie por cada paralelo (más dos de reserva)



El voltaje máximo de cada serie (2 uds) es de 4,3 V en lugar de 14-16 V, con lo que se desechan su utilización







$U_{oc} = 4,3$  (en lugar de 14-16 V)

Regulador carga- Inversor SOLENER (12v- 1200 Wp)



**CÁLCULO Y PPTO. FV AISLADA 24V- 2000 W HUMANES**
**ESTIMACION  
CONSUMOS**

DE 11- A 16 H mediante temporizadores horarios i/ en el precio

UD	APARATOS	POTENCIAS(w)	TIEMPOS (H)	ENERGIA/ DIA (WH/ DIA)
2	Expendedoras	500	5	5000
	(refrescos+ snack)			
2	Puntos de luz	25	4	200
1	Expendedoras	50	4	200
	(Café)			
				5400

Potencia Paneles

2000 w

Instalación Fija 30° SUR

HSP MEDIA (marzo-Noviembre)

6 h 12000 \* 0,6 =

7200

Horas Solares Pico

**RENDIMIENTOS**

(95% INVERSOR cc-ca; 95 % BATERIAS+REGULADOR)

Energía Real= E teórica/ rendimiento

Er= 5400/ 0,9

6000

**AUTONOMIA EN DIAS SIN SOL**

Profundidad de descarga 50%

(1-2 días)

C.util bat.

6000 wh/24 v

250 Ah

C. nominal bat.= 500 Ah

(2-3 días)

C.util bat.

12000 wh/24 v

500 Ah

C. nominal bat.= 1000 Ah

(4-5 días)

C.util bat.

18000 wh/24 v

1000 Ah

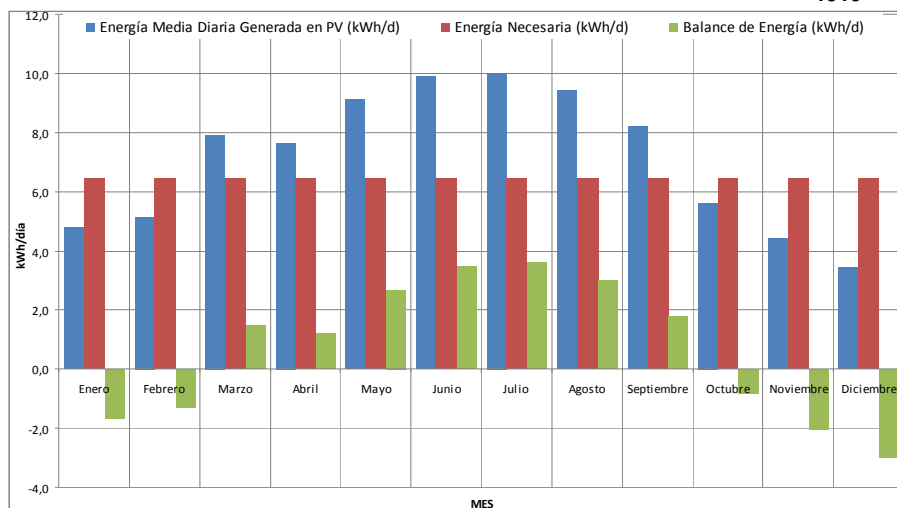
C. nominal bat.= 1500 Ah

**PRESUPUESTO**

 (BAJO 1-2 días; **MEDIO 2-3 días**; ALTO 4-5 días) en EUROS

**5 MODULOS (24 Vcc)**

	potencia/ UD	uds	TOTAL	Wpico INSTAL.
EXISTENTES	55	10	550	
NUEVOS	170	8	1360	

**1910**
















## 6 EJEMPLOS DE MANTENIMIENTOS

### 6.1 Curvas Rendimientos I<sub>U</sub> PVE-PVPM 1000-40C



Measuring Range	Voltage dc	Current dc	Temperature	Irradiance
PVPM2540C	25 / 50 / 100 / 250 V	2 / 5 / 10 / 40 A	-40°C - +120°C with Pt1000	0 - 1300 W/m <sup>2</sup> (Standard-Sensor)
PVPM6020C	25 / 100 / 300 / 600 V	2 / 5 / 10 / 20 A		
PVPM1000C	25 / 100 / 500 / 1000 V	2 / 5 / 10 / 20 A		
PVPM1000C40	25 / 100 / 500 / 1000 V	2 / 5 / 10 / 40 A		

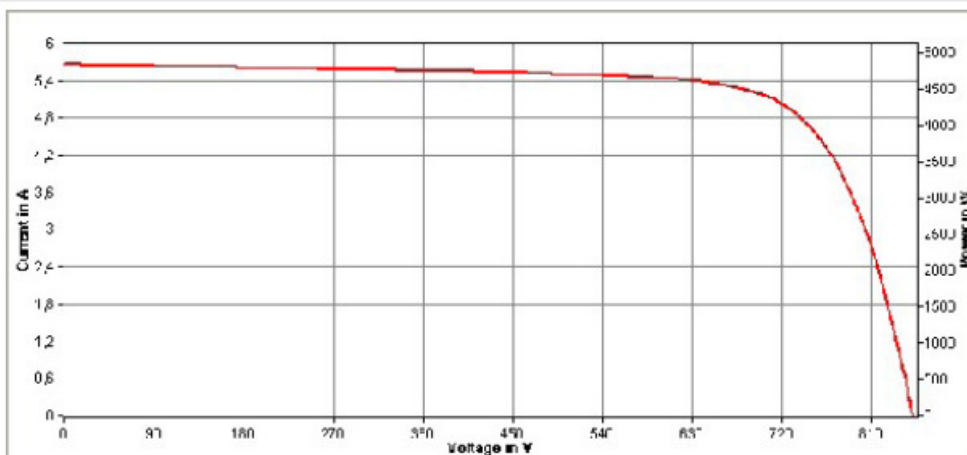
#### Operating Conditions

	Temperature	Dampness
Operation	0°C to 40°C	10% to 90% (non-condensing)
Storage	-10°C to 85°C	5% to 95%

#### Scope of Supply

- Measuring instrument in sturdy metal housing with adjustable carrying handle
- Battery supply, external power supply for battery charging and line operation
- 4-wire-lead (10 meters, more on request)
- Standardised radiation sensor Phox and integrated temperature sensor Pt1000 with lead
- Serial cable RS232 for linking an evaluation PC
- Control software for MS Windows® NT, 2000, XP, Vista
- Users Manual
- External Santon Security Switch 1000V / 25A
- Plastic case for leads and sensor

### Result of PVPM Power Measurement



### Measurement Results

<b>Values at STC:</b>		<b>Peak power P<sub>pk</sub>:</b>	<b>3688,8W</b>
		<b>I<sub>pmax0</sub>:</b>	5,20A
		<b>V<sub>pmax0</sub>:</b>	708,9V
		<b>I<sub>sc0</sub>:</b>	5,69A
		<b>V<sub>oc0</sub>:</b>	858,9V
<b>Maximum values (actual):</b>		<b>P<sub>max</sub>:</b>	3643,6W
		<b>I<sub>pmax</sub>:</b>	5,18A
		<b>V<sub>pmax</sub>:</b>	703,0V
		<b>I<sub>sc</sub>:</b>	5,67A
		<b>V<sub>oc</sub>:</b>	851,7V
<b>Calculated values:</b>		<b>R<sub>s</sub>:</b>	12,0 Ohm
		<b>R<sub>p</sub>:</b>	9862,4 Ohm
		<b>FF:</b>	0,75
<b>Conditions during measurement:</b>		<b>Cell temperature T<sub>mod</sub>:</b>	26,8°C
		<b>Irradiance E<sub>eff</sub>:</b>	996W/m2

### Additional Informations

File: G:\...Measurement series1\serie 1\30-01-2012 11\_09\_40.SUI

PVPM Serial No.: PVPM1040C04807

Sensor: SOZ-03 #3614

Date of measurement: 30.01.2012 11:09:40

Description:

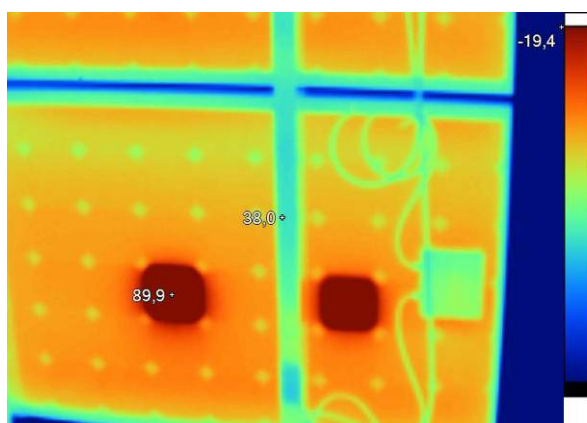


**MEDIA FILL FACTOR MEDIDO 243/448= 74.1%**



## 6.2 Termografías para determinación de Ptos. Calientes en Generador

Módulos afectados por “hot spot” (punto caliente) para el que nos hemos regido en la zona afectada por el cambio de temperatura en rangos de diferencias de temperatura mínimas de  $\pm 25^{\circ}\text{C}$ , este extremo viene aseverado por la localización de termografías desde la parte posterior del módulo, menos refrigerada por predominar como dirección del viento la misma desde la que procede la radiación solar (anverso) Para aseverar este extremo, nos basamos en elaboración de artículo de Eduardo Lorenzo (IES-UPM) presente en la publicación “Era Solar nº 153”, del pasado mes de Diciembre 2.009.



**24-G2-M10-F1-P2.IS2**

11/08/2010 11:59:07

### Marcadores de la imagen principal

Nombre	Temperatura	Emisividad
Punto central	38,0 °C	0,95
Caliente	89,9 °C	0,95
Frío	-19,4 °C	0,95

### Información de la imagen

	24-G2-M10-F1-P2.IS2
Emisividad	0,95
Rango de temperatura de la imagen	-19,4 °C a 89,9 °C
Fecha de la imagen	11/08/2010 11:59:07

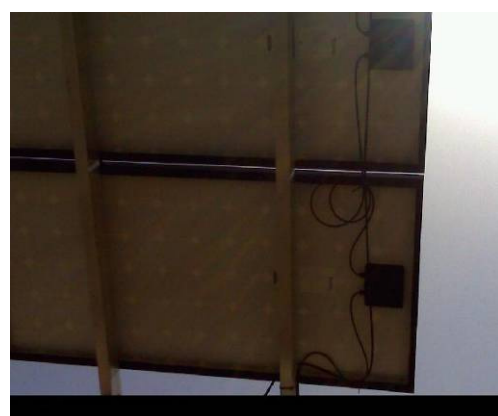


Imagen con luz visible

## 7 OTRAS INSTALACIONES (Climatización)

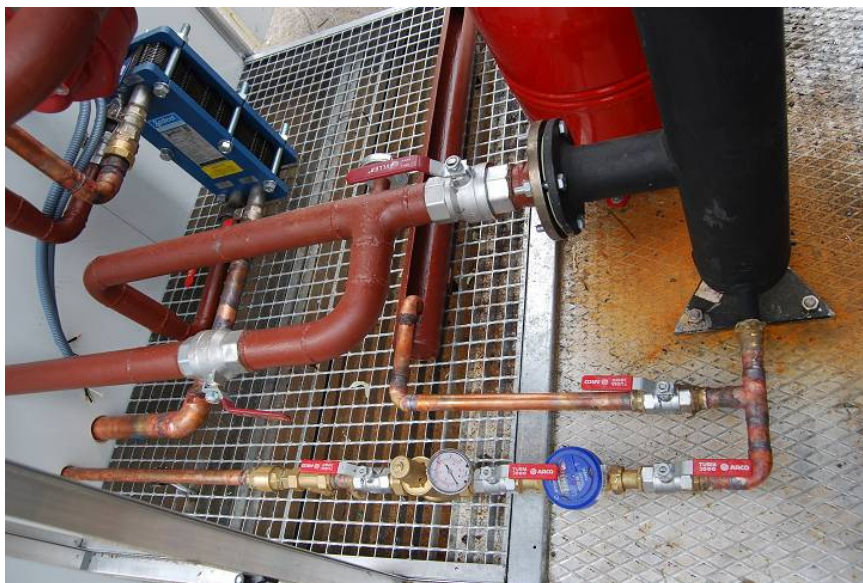
### 7.1 Roof-Tops Centralizado Condensación (WOLF)



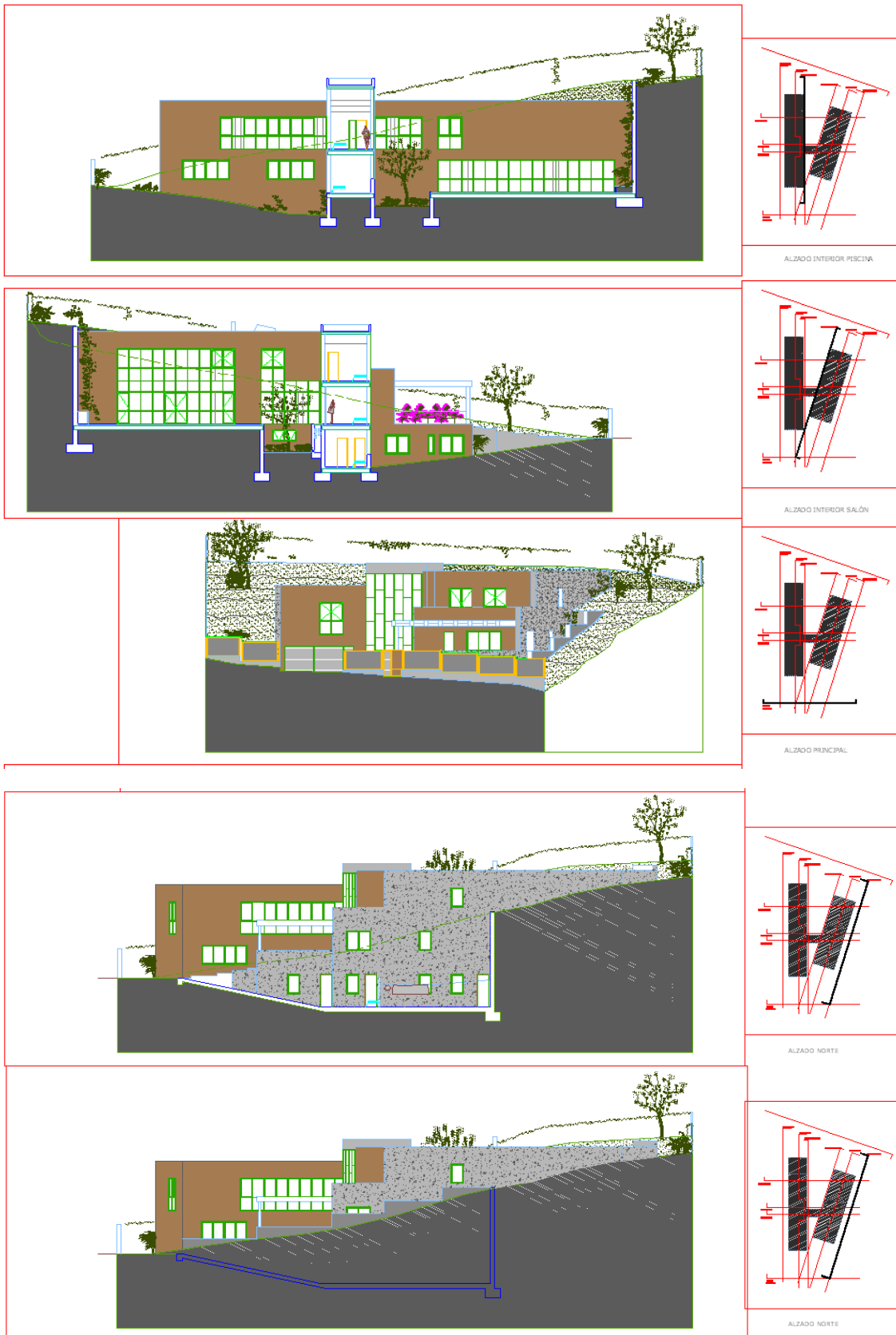


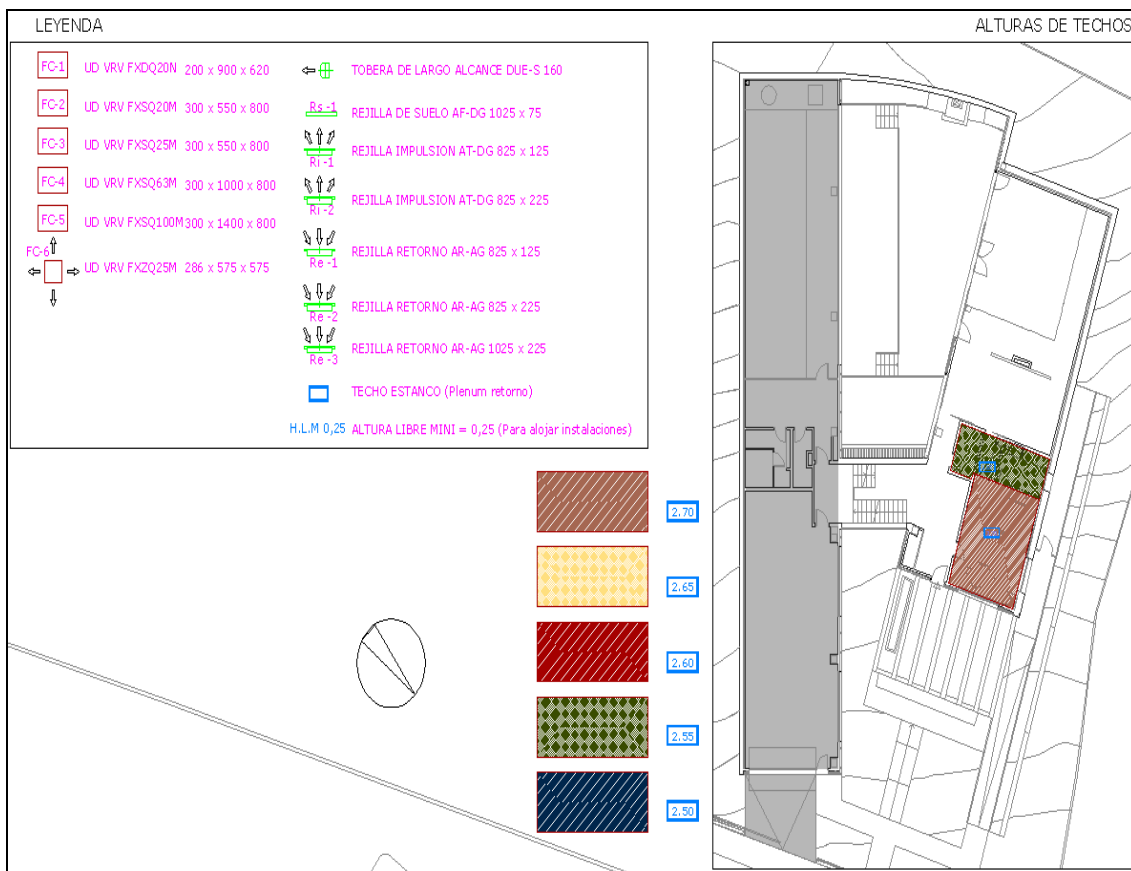
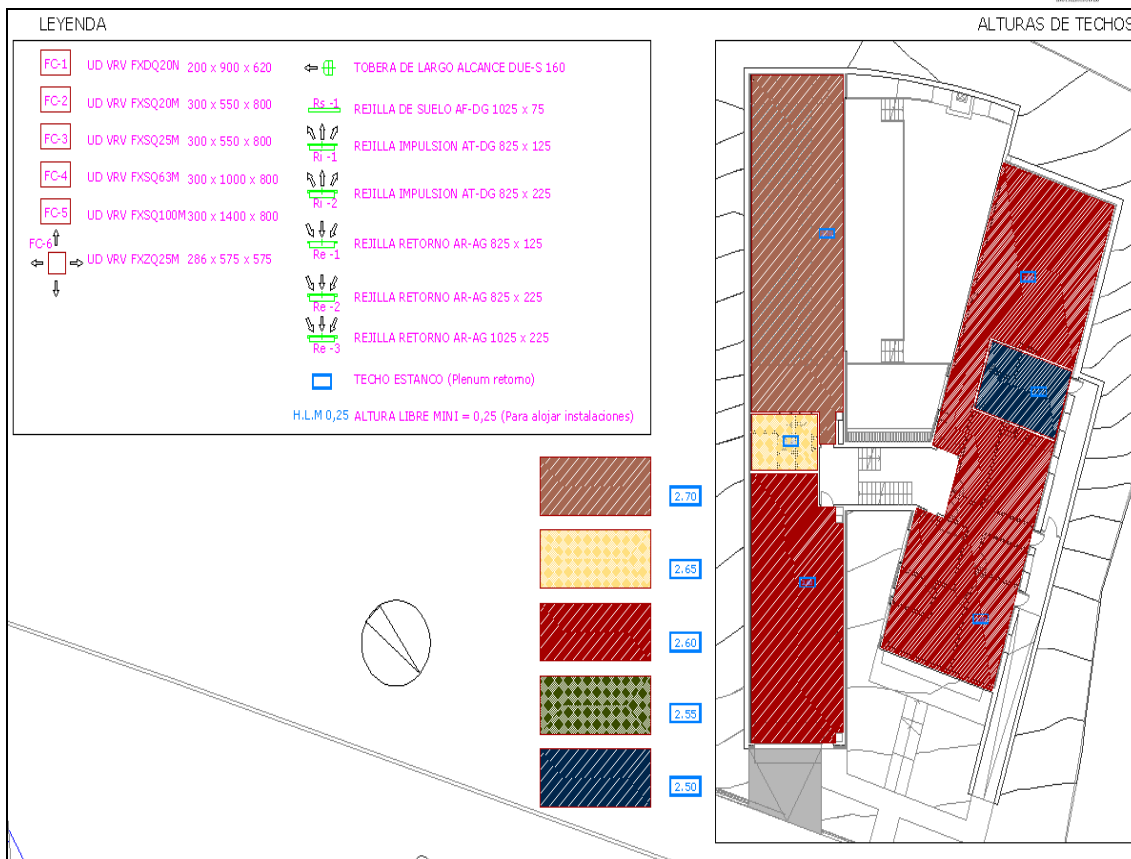






## 7.2 Volumen Refrigerante Variable -VRV (DAIKIN)

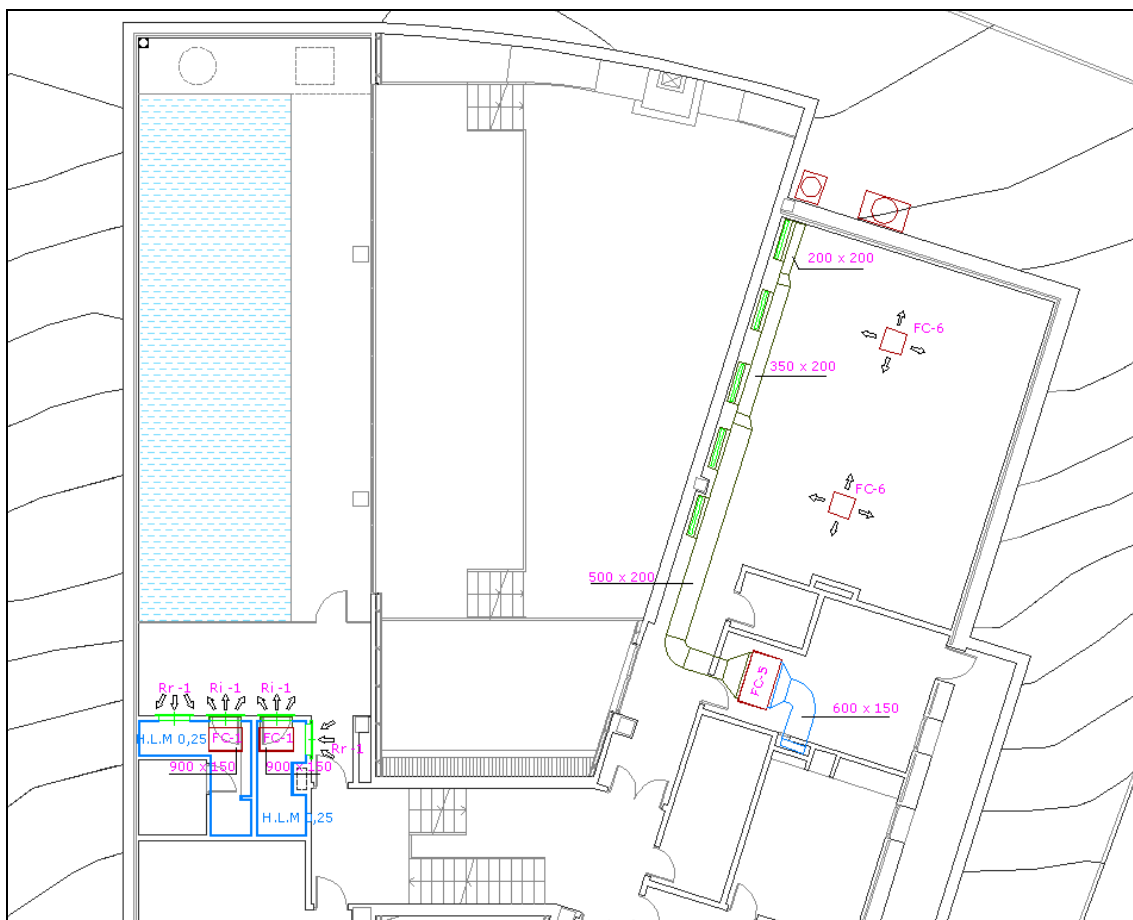
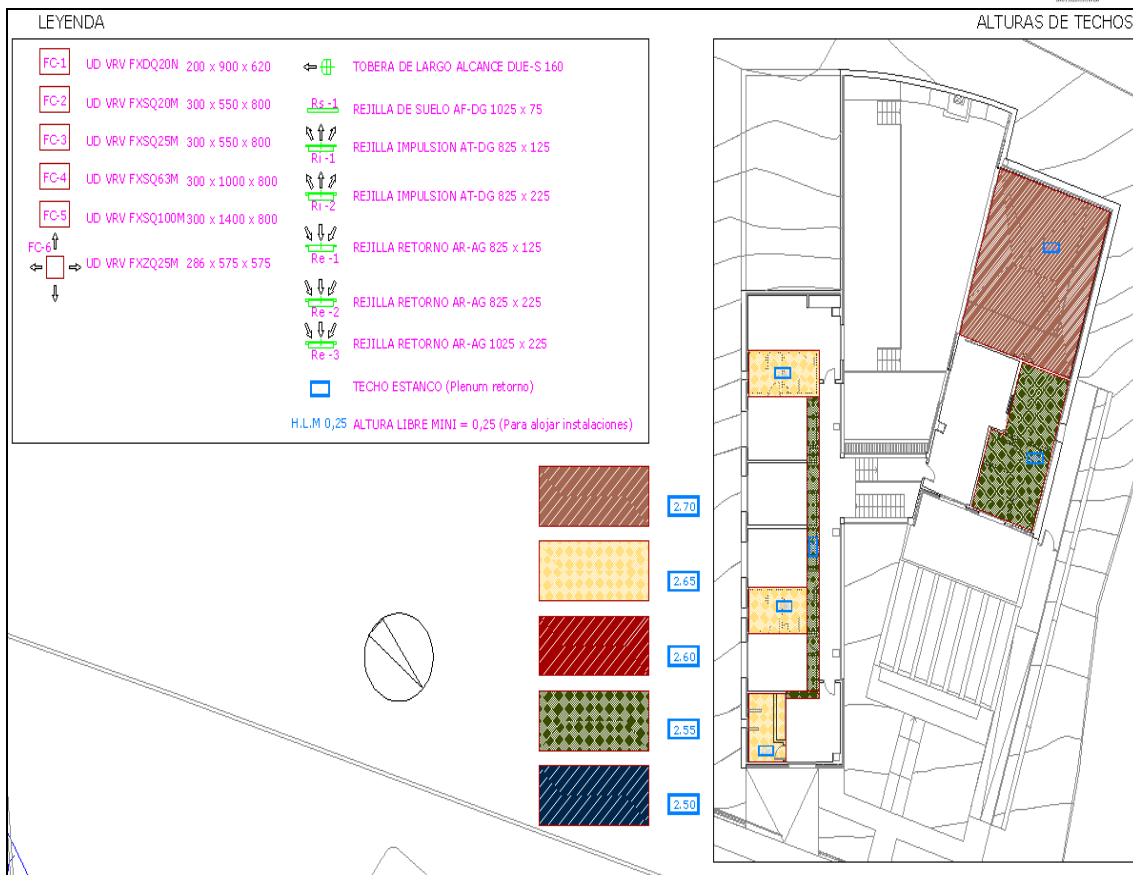








SANCAR



## 7.3 Solar Térmica Baja Tª para Suelo Radiante (VIESSMAN)

